

分组加密算法 SMS4 的 14 轮 Square 攻击

钟名富, 胡予濮, 陈杰

(西安电子科技大学 计算机网络与信息安全教育部重点实验室, 陕西 西安 710071)

摘要: 为了对分组加密算法 SMS4 进行新的安全性分析, 基于 SMS4 的轮结构中的活跃字变化的特点, 选择 1 个特定的明文形式来构造 1 个含 3 个活跃字的 Λ 集, 通过观察平衡字的传播路径, 在第 9 轮找到了 1 个平衡字, 由此构建出 1 个新型的 12 轮区分器并对 14 轮 SMS4 进行 Square 攻击. 研究结果表明: 攻击所需的明文数据量为 2^{32} , 计算复杂度为 $2^{96.5}$, 这说明 14 轮 SMS4 对 Square 攻击是不免疫的.

关键词: SMS4 算法; 平方攻击; 计算复杂度; 分组加密

中图分类号: TN918.1 **文献标识码:** A **文章编号:** 1001-2400(2008)01-0105-05

Square attack on the 14-round block cipher SMS4

ZHONG Ming-fu, HU Yu-pu, CHEN Jie

(Ministry of Education Key Lab. of Computer Network and
Information Security, Xidian Univ., Xi'an 710071, China)

Abstract: In order to make a new security evaluation for the block cipher SMS4, a certain plaintext is chosen to built a gamma set that contains three active words. Based on the character of the diversification of the active words in the round structure of SMS4, a balance word is found in the ninth round by observing the spread path of the balance words, and therefore a new 12-round distinguisher is constructed, by use of which a 14-round square attack is made on SMS4. In the attack 2^{32} chosen plaintexts are needed and the time complexity is about $2^{96.5}$. Thus the 14-round SMS4 is not immune to the Square attack.

Key Words: SMS4; square attack; time complexity; block cipher

SMS4 是用于 WAPI 的分组密码算法, 也是国内官方公布的第一 个商用密码算法^[1]. 由于其公布时间的不长, 目前对于它的攻击仍仅限于边信道攻击方面的结果^[2]. 如何对 SMS4 加密算法做出新的安全性评价, 是当前的研究热点之一.

1997 年 Joan Daemen 等人针对类 Square 密码算法首次提出了 Square 攻击^[3]. Square 攻击是一种选择明文攻击, 利用的是扩散层及活跃字节变化的特点进行分析; 这种分析技术在 AES 等标准算法分析中发挥着重要的作用. 笔者基于 SMS4 的轮结构特点, 构建出了 1 个新型的 12 轮区分器; 并由此对 14 轮 SMS4 进行 Square 攻击. 研究结果表明: 利用 Square 攻击对 14 轮 SMS4 进行攻击所需的明文数据量为 2^{32} , 计算复杂度为 $2^{96.5}$.

1 SMS4 算法简介

SMS4 算法是一个分组密码算法, 该算法的分组长度为 128 bit, 密钥长度为 128 bit. 加密算法与密钥扩展算法都采用 32 轮非线性迭代结果. 解密算法与加密算法的结构相同, 只是轮密钥的使用顺序相反, 解密轮密钥是加密轮密钥的逆序.

1.1 轮函数

算法采用非线性迭代结构, 以字为单位进行加密运算, 称一次迭代运算为一轮变换.

收稿日期: 2007-03-29

基金项目: 国家自然科学基金资助(60673072); 国家密码发展基金资助

作者简介: 钟名富(1983-), 男, 西安电子科技大学硕士研究生, E-mail: mfzh023@163.com.

设输入为 $(X_0, X_1, X_2, X_3) \in (Z_2^{32})^4$, 轮密钥为 $rk \in Z_2^{32}$, 则轮函数 F 为: $F(X_0, X_1, X_2, X_3, rk) = X_0 \oplus T(X_1 \oplus X_2 \oplus X_3 \oplus rk)$, 其中 T 为 $Z_2^{32} \rightarrow Z_2^{32}$ 的一个可逆变换, 由非线性变换 τ 和线性变化 L 复合而成, 即 $T(\cdot) = L(\tau(\cdot))$. 其中: 非线性变换 τ 是由 4 个并行的 S 盒构成. 设输入为 $A = (a_1, a_2, a_3, a_4) \in (Z_2^8)^4$, 输出为 $B = (b_1, b_2, b_3, b_4) \in (Z_2^8)^4$, 则有: $(b_1, b_2, b_3, b_4) = \tau(A) = (S_{\text{box}}(a_1), S_{\text{box}}(a_2), S_{\text{box}}(a_3), S_{\text{box}}(a_4))$.

线性变换 L : 非线性变换 τ 的输出即为线性变换 L 的输入. 设输入为 $B \in Z_2^{32}$, 则有 $C = L(B) = B \oplus (B \ll 2) \oplus (B \ll 10) \oplus (B \ll 18) \oplus (B \ll 24)$, 其中 $\ll i$ 为 32 bit 循环左移 i 位.

1.2 加/解密算法

定义反序变换 R 为: $R(A_0, A_1, A_2, A_3) = (A_3, A_2, A_1, A_0)$, $A_i \in Z_2^{32}, i = 0, 1, 2, 3$. 设明文输入为 $(X_0, X_1, X_2, X_3) \in (Z_2^{32})^4$, 密文输出为 $(Y_0, Y_1, Y_2, Y_3) \in (Z_2^{32})^4$, 轮密钥为 $rk_i \in Z_2^{32}, i = 0, 1, \dots, 31$. 则本算法的加密变换为: $X_{i+4} = F(X_i, X_{i+1}, X_{i+2}, X_{i+3}, rk_i) = X_i \oplus T(X_{i+1} \oplus X_{i+2} \oplus X_{i+3} \oplus rk_i), i = 0, 1, \dots, 31$. $(Y_0, Y_1, Y_2, Y_3) = R(X_{32}, X_{33}, X_{34}, X_{35}) = (X_{35}, X_{34}, X_{33}, X_{32})$. 具体的加密算法结构如图 1 和图 2 所示.

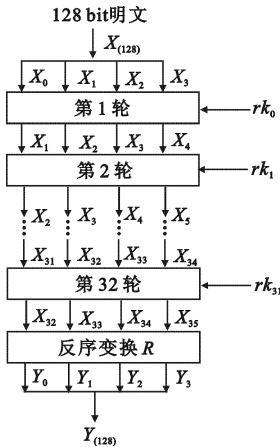


图 1 SMS4 加密算法整体结构

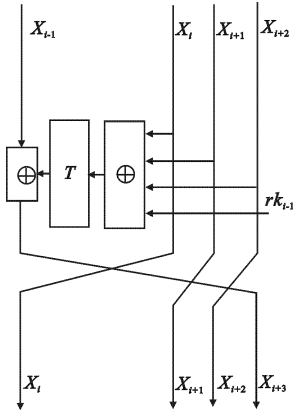


图 2 第 i 轮 SMS4 加密算法结构

算法的解密变换与加密变换结构相同, 不同的仅是轮密钥的使用顺序.

加密时轮密钥的使用顺序为 $(rk_0, rk_1, \dots, rk_{31})$.

解密时轮密钥的使用顺序为 $(rk_{31}, rk_{30}, \dots, rk_0)$.

1.3 密钥扩展算法

算法中加密算法的轮密钥由加密密钥通过密钥扩展算法生成.

加密密钥 $M_K = (M_{K_0}, M_{K_1}, M_{K_2}, M_{K_3}), M_{K_i} \in Z_2^{32}, i = 0, 1, 2, 3$.

令 $K_i \in Z_2^{32}, i = 0, 1, \dots, 35$, 轮密钥为 $rk_i \in Z_2^{32}, i = 0, 1, \dots, 31$, 则密钥生成方法为: $(K_0, K_1, K_2, K_3) = (M_{K_0} \oplus F_{K_0}, M_{K_1} \oplus F_{K_1}, M_{K_2} \oplus F_{K_2}, M_{K_3} \oplus F_{K_3})$, 对 $i = 0, 1, 2, \dots, 31$ 有 $rk_i = K_{i+4} = K_i \oplus T'(K_{i+1} \oplus K_{i+2} \oplus K_{i+3} \oplus C_{K_i})$, 其中 T' 变换与轮函数中的 T 变换基本相同, 只将其中的线性变换 L 修改为以下 L' : $L'(B) = B \oplus (B \ll 13) \oplus (B \ll 23)$.

系统参数 F_K 的取值, 采用 16 进制表示为: $F_K = (F_{K_0}, F_{K_1}, F_{K_2}, F_{K_3})$, 其中 $F_{K_0} = (A3B1BAC6)$, $F_{K_1} = (56AA3350)$, $F_{K_2} = (677D9197)$, $F_{K_3} = (B27022DC)$.

固定参数 $C_K = (C_{K_0}, C_{K_1}, \dots, C_{K_{31}})$ 为 32 个固定参数, 其值参看相关标准^[1].

2 平方攻击的核心思想

2.1 平方攻击介绍

1997 年 Joan Daemen 等人针对类 Square 密码算法首次提出了 Square 攻击, 这种攻击主要利用了 Square 密码的块操作特性和 SPN 结构密码中每一变换的可逆性提出的一种攻击方法. 它对于攻击低轮数类似 Square 密码是十分有效的^[3~5]. 随后 N. Ferguson 和 H. Gilbert 等人分别利用动态规划和生日悖论的

技巧推广了 Square 攻击并都取得了很好的效果^[6,7].

2.2 平方攻击基本思想

Square 攻击主要建立在以下两个重要概念—— Λ 集平衡性之上的一种选择明文攻击^[8,9].

① Λ 集是一个包含 2^{32} 个状态的集合,这些状态在某些字(称为活动字)上两两互异(因而遍历字的所有可能值),而在其他字(称为非活动字)上则完全相同,即对任意状态 $A, B \in \Lambda$ 有:

$$\begin{cases} A_{i,j} \neq B_{i,j} & , \quad \text{若}(i,j)\text{位置上是活动字,} \\ A_{i,j} = B_{i,j} & , \quad \text{若}(i,j)\text{位置上是非活动字.} \end{cases}$$

② 对包含 2^{32} 个状态的集合 P ,某个位置 (i,j) 上的字是平衡的当且仅当所有状态在该位置上的字的异或结果为 0,即字 (i,j) 是平衡的 $\Leftrightarrow \bigoplus_{A \in P} A(i,j) = 0$.

基本的攻击过程是:

Step1 选择一个 Λ 集.

Step2 对此 Λ 集加密并观察加密过程中平衡字的传播路径(此过程包含密钥猜测).

Step3 对路径末端平衡字的所有可能取值求和,由此来决定保留或删除所猜测的密钥,可以选择多个 Λ 集重复上述过程来验证所保留密钥的正确性.

Step4 输出正确的密钥.

3 14 轮 SMS4 平方攻击密码分析

3.1 SMS4 的 12 轮 Square 攻击区分器的构造

选择具有形式为 $(\alpha, \alpha, \alpha, 0)$ 的一个明文加密,其中 $\alpha \in Z_2^{32}$,由 SMS4 的轮结构特点,则得到具体的明文加密时转移的情况如表 1 所示.

表 1 12 轮明密文编排表

轮数	明文			
1	α	α	α	0
2	α	α	0	$\alpha \oplus T(r_0)$
3	α	0	$\alpha \oplus T(r_0)$	$\alpha \oplus T(T(r_0) \oplus r_1)$
4	0	$\alpha \oplus T(r_0)$	$\alpha \oplus T(T(r_0) \oplus r_1)$	$\alpha \oplus T(T(r_0) \oplus T(T(r_0) \oplus r_1) \oplus r_2)$
5	$\alpha \oplus T(r_0)$	$\alpha \oplus T(T(r_0) \oplus r_1)$	$\alpha \oplus T(T(r_0) \oplus T(T(r_0) \oplus r_1) \oplus r_2)$	β_1
6	$\alpha \oplus T(T(r_0) \oplus r_1)$	$\alpha \oplus T(T(r_0) \oplus T(T(r_0) \oplus r_1) \oplus r_2)$	β_1	β_2
7	$\alpha \oplus T(T(r_0) \oplus T(T(r_0) \oplus r_1) \oplus r_2)$	β_1	β_2	*
8	β_1	β_2	*	*
9	β_2	*	*	*
10	*	y	*	*
11	*	*	y	*
12	*	*	*	y

表 1 中 $0, \alpha, \beta_1, \beta_2$ 均取于 Z_2^{32} , * 为任意数, $\beta_1 = T(\alpha \oplus T(r_0) \oplus T(T(r_0) \oplus r_1) \oplus T(T(r_0) \oplus T(T(r_0) \oplus r_1) \oplus r_2) \oplus r_3), \beta_2 = \alpha \oplus T(r_0) \oplus T(T(T(r_0) \oplus r_1) \oplus T(T(r_0) \oplus T(T(r_0) \oplus r_1) \oplus r_2) \oplus T(\alpha \oplus T(r_0) \oplus T(T(r_0) \oplus r_1) \oplus T(T(r_0) \oplus T(T(r_0) \oplus r_1) \oplus r_2) \oplus r_3) \oplus r_4)$,又因密钥 r_0, r_1, r_2, r_4 都是固定的,所以经过变换 T 之后仍然是个定值,则令 $T(r_0) \oplus T(T(r_0) \oplus r_1) \oplus T(T(r_0) \oplus T(T(r_0) \oplus r_1) \oplus r_2) \oplus r_3 = A$, 则 $\beta_1 = T(\alpha \oplus A)$, 同理令 $T(r_0) = B_1, T(T(r_0) \oplus r_1) \oplus T(T(r_0) \oplus T(T(r_0) \oplus$

$r_1) \oplus r_2) = B_2$, 则 $\beta_2 = \alpha \oplus B_1 \oplus T(B_2 \oplus T(\alpha \oplus A))$, 其中 A, B_1, B_2 都是定值.

而通过对线性层 L 的分析以及对 S 盒的测试能得到如下结论:

(1) 对于任意的 $a \in Z_2^{32}, b \in Z_2^{32}$, 若 $a \neq b$, 则有 $L(a) \neq L(b)$.

证明 设 $a, b, c \in Z_2^{32}$, 因 $(a \oplus b) \oplus c = a \oplus (b \oplus c)$, $a \oplus b = b \oplus a$, 且若 $a \oplus b = a \oplus c$, 则有 $b = c$, 设 $a = a_0 a_1 \cdots a_{31}$, $b = b_0 b_1 \cdots b_{31}$, 则令 $N = L(a) = a \oplus (a \ll 2) \oplus (a \ll 10) \oplus (a \ll 18) \oplus (a \ll 24) = n_1 n_2 \cdots n_{31}$, $M = L(b) = b \oplus (b \ll 2) \oplus (b \ll 10) \oplus (b \ll 18) \oplus (b \ll 24) = m_1 m_2 \cdots m_{31}$, 若 $N = M$, 则有 $n_{31} = m_{31}$, 而 $n_{31} = a_{31} \oplus 0 \oplus 0 \oplus 0 \oplus 0 = a_{31}$, $m_{31} = b_{31} \oplus 0 \oplus 0 \oplus 0 \oplus 0 = b_{31}$, 所以有 $a_{31} = b_{31}$, 同理得 $a_{30} = b_{30}$. 又因 $n_{29} = a_{29} \oplus a_{31} \oplus 0 \oplus 0 \oplus 0$, $m_{29} = b_{29} \oplus b_{31} \oplus 0 \oplus 0 \oplus 0$, 而 $a_{31} = b_{31}$, 所以 $a_{29} = b_{29}$, 同理得 $a_i = b_i, i = 0, 1, \cdots, 28$. 也即若 $N = M$, 则 $a = b$.

(2) 因为 S 盒是双射的, 则对于任意的 $a \in Z_2^{32}, b \in Z_2^{32}$, 若 $a \neq b$, 则有 $S(a) \neq S(b)$. 因此 $T(a) \neq T(b)$, 也即若 x 跑遍 0 到 $(2^{32} - 1)$ 则 $T(x)$ 也跑遍 0 到 $(2^{32} - 1)$, $T(x \oplus A)$ 也跑遍 0 到 $(2^{32} - 1)$, 再进一步则得 $T(T(x))$ 也跑遍 0 到 $(2^{32} - 1)$. 同理得 $T(B_2 \oplus T(\alpha \oplus A))$ 也跑遍 0 到 $(2^{32} - 1)$.

由以上结论可证明 $\sum_a \beta_2 = 0$, 因当 a 跑遍 0 到 $(2^{32} - 1)$ 时, 显然有 $\sum_a \alpha = 0$, $\sum_a T(B_2 \oplus T(\alpha \oplus A)) = 0$, 则 $\sum_a \beta_2 = 0 + 0 = 0$ 得证.

12 轮区分器为: $\sum_y y = 0$, 输入特征为 $(\alpha, \alpha, \alpha, 0)$, 其中 $\alpha \in Z_2^{32}$. 输出特征为 $(*, *, *, \sum_y y = 0)$, 其中 y 为第 12 轮输出块, 且 $y \in Z_2^{32}$.

3.2 14 轮平方攻击过程详述

具体攻击过程如下:

Step1 选择一个明文为 $(\alpha, \alpha, \alpha, 0)$, 通过加密得到一个明文编排表(表 1)并得到经过 14 轮加密后的密文.

Step2 全猜测第 14 轮的子密钥 rk_{13} 并解密第 14 轮的密文, 也即得到了第 13 轮的明文.

Step3 全猜测第 13 轮的子密钥 rk_{12} 并解密上一步所得到的第 13 轮的明文, 也即得到了第 12 轮的明文.

Step4 让 α 跑遍 0 到 $(2^{32} - 1)$, 并重复 Step 2 和 Step 3, 把得到的 12 轮的明文的最后一个字 y 相加. 而因最后一个字 y 的和为 0 的概率是 2^{-32} , 则一共有 $2^{32} \times 2^{32} \times 2^{-32} = 2^{32}$ 个密钥使得 $\sum_y y = 0$, 也即能保留下来的可能的正确的密钥量为 2^{32} 个.

Step5 对这 2^{32} 个可能的密钥进行全测试, 直至得到惟一的正确的子密钥.

Step6 对余下的 $128 - 64 = 64$ bit 进行全搜索得到正确的子密钥, 从而完全恢复出所有密钥.

3.3 复杂度分析

(1) 在 Step 4 中需要对每一个 α 都分别猜测第 13 轮和第 12 轮的子密钥, 每猜测一轮子密钥的计算复杂度为 2^{32} , 而一共有 2^{32} 个 α , 所以这一步所需的计算复杂度为 $2^{32} \times 2^{32} \times 2^{32} = 2^{96}$.

(2) 在 Step 5 中需要对 2^{32} 个可能的密钥每一个都进行测试, 所以这步的计算复杂度为 2^{32} .

(3) 在 Step 6 中还需对剩下的 64 bit 子密钥进行全搜索, 也即必须进行 2^{64} 次 14 轮加密, 因此这一步的计算复杂度为 2^{64} .

所以单轮计算复杂度为 $(2^{96} + 2^{32})/14 \approx 2^{93}$, 而此攻击方法总共所需的计算复杂度为 $2^{96} + 2^{32} + 2^{64} \approx 2^{96.5}$. 故攻击 14 轮 SMS4 所需的复杂度为: 明文数据量为 2^{32} , 计算复杂度为 $2^{96.5}$.

4 结束语

通过对 SMS4 加密算法中的线性变换 L 的特点以及平衡字节的变化情况进行了分析, 并首次利用平方攻击方法对其进行攻击. 结果表明: 攻击所需的明文数据量为 2^{32} , 计算复杂度为 $2^{96.5}$, 这说明 14 轮 SMS4 对 Square 攻击是不免疫的. 但目前为止还没有证据显示 32 轮的 SMS4 算法是否能足以抵抗文中算法的平方攻击.

参考文献:

- [1] Office of State Commercial Cipher Administration. Block Cipher for WLAN Products—SMS4[EB/OL]. [2006-12-23]. <http://www.oscca.gov.cn/UpFile/2006021016423197990>.
- [2] 张蕾, 吴文玲. SMS4 密码算法的差分故障攻击[J]. 计算机学报, 2006, 29(9):1594-1600.
- [3] Daemen J, Knudsen R L, Rijmen V. The Block Cipher Square[C]//Fast Software Encryption. Berlin: Springer-Verlag, 1997: 149-165.
- [4] Daemen J, Rijmen V. AES Proposal: Rijndael Version 2[EB/OL]. [2006-11-10]. <http://www.east.kuleuven.ac.be/~rijmen/rijndael>.
- [5] Barreto P, Rijmen V. The ANUBIS Block Cipher[EB/OL]. [2005-08-23]. <http://www.cryptonessie.org>.
- [6] Ferguson N, Kelsey J, Schneier B, et al. Improved Cryptanalysis of Rijndael [C]//Proceedings of Fast Software Encryption Workshop; Vol 1978. Berlin: Springer-Verlag, 2000: 213-230.
- [7] Gilbert H, Minier M. A Collision Attack on 7 Rounds of Rijndael[EB/OL]. [2006-10-15]. <http://csrc.nist.gov/eccryption/aes/round2/conf3/aes3papers.html>.
- [8] 韦宝典, 刘东苏, 王新梅. 一种新的 Square 攻击[J]. 西安电子科技大学学报, 2003, 30(4):473-476.
Wei Baodian, Liu Dongsu, Wang Xinmei. A New Type of Square Attack[J]. Journal of Xidian University, 2003, 30(4): 473-476.
- [9] 李清玲, 李超. 变种 Camellia 对 Square 攻击的安全性[J]. 应用科学学报, 2006, 24(5): 485-490.

(编辑: 齐淑娟)

(上接第 104 页)

- [8] Wandell B A. Foundations of Vision. Sinauer Associates [M]. First Edition. Sunderland: Sinauer Associates, Inc,1995.
- [9] Imgeun L, Jongsik K. Wavelet Transform Image Coding Using Human Visual System [C]//IEEE Asia-Pacific Conference on Circuits and Systems. Taipei: IEEE, 1994: 619-623.
- [10] Miloslavski M, Ho Y S. Zerotree Wavelet Image Coding Based on the Human Visual System Model [C]//IEEE Asia-Pacific Conference on Circuits and Systems. Chiangmai: IEEE, 1998: 57-60.
- [11] Nadenau M J, Julien R, Murat K. Wavelet-Based Color Image Compression: Exploiting the Contrast Sensitivity [J]. IEEE Trans on Image Processing, 2003, 1, 12(1): 58 - 70.
- [12] Sheikh H R, Wang Z, Bovik A C, et al. Image and Video Quality Assessment Research at LIVE [DB/OL]. [2003-10-12]. <http://live.ece.utexas.edu/rese-arch/quality/>.
- [13] VQEG. Final Report from the Video Quality Experts Group on the Validation of Objective Models of Video Quality Assessment [DB/OL]. [2003-03-12]. <http://www.vqeg.org/>.

(编辑: 齐淑娟)